

01;10

Электрические поля, однородные по Эйлеру, для электронной спектрографии

© Ю.К. Голиков, Н.К. Краснова

Санкт-Петербургский государственный политехнический университет,
195251 Санкт-Петербург, Россия
e-mail: n.k.krasnova@mail.ru

(Поступило в Редакцию 20 апреля 2010 г. В окончательной редакции 30 июня 2010 г.)

Развивается новый подход к определению оптимальных электронно-оптических сред, в которых можно эффективно реализовать идею электронного (ионного) спектрографа. За основу взяты электростатические поля с лапласовым потенциалом, подчиняющимся условию однородности Эйлера. Принцип действия спектрографов с такими полями связан со специальным свойством подобия изоэнергетических семейств траекторий с разными энергиями в условиях однородности. Для построения искомых полей предлагается новый способ аналитического представления, в котором базовым является аппарат комплексного представления Донкина для конусовидных полей. Разработанные алгоритмы позволяют строить в элементарной форме однородные потенциалы в широком классе, в котором классические шаровые и сферические функции являются только частными случаями. На этой базе ставится и решается в общем виде в замкнутой аналитической форме задача Коши для однородных потенциалов с плоскостью симметрии. Приводится ряд конкретных структур этого ряда.

Введение

В основе всех методов электронной спектроскопии лежит точное измерение энергетических спектров электронных пучков, испускаемых возбужденным образцом (мишенью). До недавнего времени для этой цели применялись электростатические энергоанализаторы разнообразных конструкций, работающие в режиме спектрометров. Особенность этих устройств состоит в том, что электроны исследуемого потока последовательными группами, каждая со своей энергией, прогоняются по неподвижной системе траекторий, сфокусированной на узкую выходную щель, за которой стоит приемник, например, цилиндр Фарадея или электронный умножитель [1]. Развертка спектра осуществляется за счет изменения потенциала одного из электродов прибора. Эти инструменты доведены до высокой степени совершенства, и борьба идет за выполнение светосилы при высоком энергетическом разрешении [2]. Поскольку такой последовательный энергоанализ занимает достаточно много времени и требует избыточного количества электронов от источника, то он явно не годится для исследования быстропротекающих процессов на поверхности образца.

Принципиально иной режим измерения спектров осуществляется в электронно-оптической схеме спектрографа. Здесь также работает электрическое поле, но при постоянном потенциале на электродах. Все электроны исследуемого потока пространственно разделяются полем на струи в соответствии с энергией, и каждая из них попадает на свой локальный приемник — обычно это малый фрагмент позиционно-чувствительного детектора (ПЧД) — микроканального умножителя в виде пластины или линейки. Данный способ фиксации энергии более информативен, чем в случае спектрометра, и особенно хорош для быстропротекающих процессов.

В электронно-оптическом смысле между спектрометрами и спектрографами существует глубокое различие. Для построения более или менее удачного спектрометра годится электрическое поле практически любой геометрии, поскольку всегда удастся найти режим фокусировки одной электронной струи с фиксированным параметром $W = E_0/|q\Phi_0|$, где E_0 — энергия электронов; q — абсолютное значение заряда электрона; Φ_0 — потенциал развертки. Качество фокусировки может оказаться не слишком хорошим, а величина дисперсии умеренной, однако, в целом, вопрос о работоспособности спектрометра можно считать в принципе решенным. В спектрографе поле решает более сложную комбинированную задачу. Оно должно обеспечить одновременную фокусировку совокупности пространственно разделенных струй из некоторого диапазона энергий E_0 при неизменном потенциале Φ_0 . Кроме того, желательно, чтобы фокусы всех этих струй лежали в плоскости, с которой можно совместить сигнальную пластину (ПЧД). Очевидно, удовлетворить всем этим требованиям одновременно могут только какие-то избранные специфические полевые структуры. Здесь, конечно, следует отметить уникальное по своей простоте и эффективности поле плоского конденсатора, которое в равной мере воплощает обе идеи спектрографа и спектрометра для ленточных и конических пучков в режиме фокусировки II порядка на границе поля при угле входа центральной траектории пучка $\theta = 45^\circ$. Однако оно имеет ограничение по светосиле и конструктивным особенностям, которые стараются преодолеть с помощью более сложных электродных конфигураций.

Интерес к спектрографам ярко обозначился сравнительно недавно в связи с появлением ПЧД, и пока не находятся в литературе сколь-нибудь общие подходы к синтезу этих приборов. Отдельные частные результаты

подаются авторами как чисто компьютерный продукт без обсуждения побудительных электронно-оптических идей, что, конечно, не способствует развитию теории спектрографов [3,4]. Существуют попытки построения спектрографов на базе привычных спектрометров, например, цилиндрического зеркала [5], усеченного цилиндра [6]. Действительно, вблизи основного фокуса спектрометра при фиксированном значении W_0 наблюдается криволинейный фрагмент фокусировок худшего качества. Если W варьируется вблизи W_0 , то можно уловить соответствующие электронные струи с помощью плоского ПЧД, совмещенного с поверхностью точек фокусировки, хотя бы приближенно. Эту схему, безусловно, можно оптимизировать в каждом конкретном случае, но данный путь кажется нам недостаточно продуктивным. Нужны другие, более радикальные идеи, способные в принципиальном ключе решить проблему спектрографа. Далее будем строить свою идеологию синтеза спектрографов.

Спектрография и принцип подобия

Начнем со следующего очевидного наблюдения: электронные струи в плоском конденсаторе с линейным по координатам потенциалом при разных энергиях E_0 имеют одинаковую форму и различаются только масштабом. Здесь налицо проявление специального принципа подобия, свойственного полям с потенциалом, однородным по Эйлеру, в данном случае кратности $n = 1$. Логично предположить, что „спектрографическая ситуация“ присуща всем однородным полям с кратностями однородности $n \neq 0$. Докажем этот факт строгими математическими рассуждениями. Условие однородности функции $\varphi(x, y, z)$ по Эйлеру дается уравнением [7]

$$x\varphi_x + y\varphi_y + z\varphi_z = n\varphi. \quad (1)$$

Все решения (1) удовлетворяют тождеству Эйлера

$$\varphi(cx, cy, cz) = c^n \varphi(x, y, z), \quad c = \text{const}. \quad (2)$$

Это более конструктивный признак однородности, с помощью которого легко получить представление о структуре данного класса функций. Полагая

$$c = \frac{1}{\rho}, \quad \rho = \sqrt{x^2 + y^2 + z^2}, \quad (3)$$

получим выражение

$$\varphi_{x,y} = \rho^n g\left(\frac{x}{\rho}, \frac{y}{\rho}\right), \quad (4)$$

где g — произвольная функция двух переменных. С помощью (4) построим физический потенциал

$$\Phi = \Phi_0 \rho^n g\left(\frac{x}{\rho}, \frac{y}{\rho}\right), \quad (5)$$

где Φ_0 — характерный потенциал, выраженный в вольтах. Реальные декартовы координаты X, Y, Z выразим через безразмерные координаты x, y, z посредством характерного масштаба l , задаваемого в метрах,

$$X = lx, \quad Y = ly, \quad Z = lz. \quad (6)$$

Следуя [8], построим удобную безразмерную модель движения частиц массы m и заряда q в данных полях. Физическое время t , задаваемое в секундах, выразим через безразмерный текущий параметр τ по формуле

$$t = T\tau, \quad (7)$$

и масштаб времени T подчиним условию

$$T = l \sqrt{\frac{m}{|q\Phi_0|}}. \quad (8)$$

В этих условиях безразмерная функция Лагранжа имеет вид

$$L = \frac{\dot{x}^2 + \dot{y}^2 + \dot{z}^2}{2} - \rho^n g\left(\frac{x}{\rho}, \frac{y}{\rho}\right). \quad (9)$$

Начальные данные движения — координаты X_0, Y_0, Z_0 и скорости V_{0x}, V_{0y}, V_{0z} — преобразуются в безразмерные величины x_0, y_0, z_0 и $\dot{x}_0, \dot{y}_0, \dot{z}_0$ соответственно

$$x_0 = \frac{X_0}{l}, \quad y_0 = \frac{Y_0}{l}, \quad z_0 = \frac{Z_0}{l}, \quad (10)$$

$$\dot{x}_0 = \frac{T}{l} V_{0x}, \quad \dot{y}_0 = \frac{T}{l} V_{0y}, \quad \dot{z}_0 = \frac{T}{l} V_{0z}.$$

Начальная кинетическая энергия частицы

$$E_0 = m \frac{V_0^2}{2} = m \frac{V_{0x}^2 + V_{0y}^2 + V_{0z}^2}{2}$$

заменится безразмерным параметром энергии

$$W = \frac{\dot{x}_0^2 + \dot{y}_0^2 + \dot{z}_0^2}{2} = \frac{E_0}{|q\Phi_0|}. \quad (11)$$

В безразмерной модели исчезают физические правила подобия, связанные с изменением потенциалов, линейных физических масштабов и энергий, но зато полностью обнажается математическая сущность движения и, в частности, специальный принцип подобия, свойственный данным полям. Чтобы выявить его, подвергнем пространство (x, y, z) преобразованию подобия с коэффициентом k и введем новое безразмерное время, положив

$$x^* = kx, \quad y^* = ky, \quad z^* = kz, \quad \tau^* = a\tau. \quad (12)$$

Функция L из (9) примет вид

$$L = \frac{a^2}{k^2} \frac{\left(\frac{dx^*}{d\tau^*}\right)^2 + \left(\frac{dy^*}{d\tau^*}\right)^2 + \left(\frac{dz^*}{d\tau^*}\right)^2}{2} - \frac{1}{k^n} \rho^{*n} g\left(\frac{x^*}{\rho^*}, \frac{y^*}{\rho^*}\right), \quad (13)$$

$$\rho^* = \sqrt{x^{*2} + y^{*2} + z^{*2}}.$$

Выберем параметр времени a из условия

$$\frac{a^2}{k^2} = \frac{1}{k^n}$$

или

$$a = k^{(2-n)/2}, \quad (14)$$

тогда из (13) выделится общий множитель $1/k^n$, который можно опустить в силу инвариантности однородных уравнений Лагранжа относительно операции умножения функции Лагранжа на произвольную постоянную. В результате получим

$$L = \frac{1}{2} \left[\left(\frac{dx^*}{d\tau^*} \right)^2 + \left(\frac{dy^*}{d\tau^*} \right)^2 + \left(\frac{dz^*}{d\tau^*} \right)^2 \right] - \rho^{*n} g \left(\frac{x^*}{\rho^*}, \frac{y^*}{\rho^*} \right). \quad (15)$$

С точностью до обозначений структуры (9) и (15) совпадают, и следовательно, оба интегральных многообразия траекторий для них в целом совпадают. Если взять какую-нибудь фиксированную траекторию с энергией W_0 , то, меняя k , можно построить бесконечное множество взаимоподобных траекторий с энергиями

$$W = k^n W_0. \quad (16)$$

Иначе говоря, интегральное многообразие динамической системы в однородном по Эйлеру поле всегда распадается на множество семейств, внутри каждого из которых траектории взаимно подобны. В этом и состоит математическая сущность специального принципа подобия. Его исключительную полезность для теории спектрографов легко осознать из следующего построения.

Рассмотрим точечный источник, расположенный в начале координат $x = y = z = 0$. Пусть из него летят электроны разных энергий E_0 в некотором достаточно узком телесном угле. В безразмерной модели движения диапазон энергий $E_1 < E_0 < E_2$ порождает диапазон изменения параметра $W = E_0/|q\Phi_0|$ при $\Phi_0 = \text{const}$ в пределах

$$W_1 = \frac{E_1}{|q\Phi_0|}, \quad W_2 = \frac{E_2}{|q\Phi_0|}. \quad (17)$$

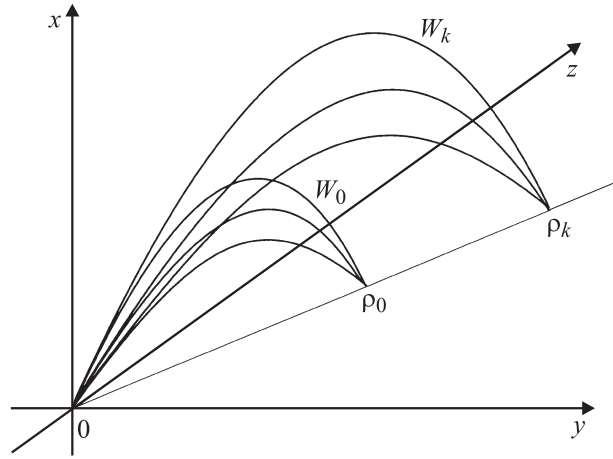
Выберем какое-нибудь конкретное значение W_0 из этого диапазона (W_1, W_2). Ему отвечает изоэнергетическое семейство траекторий, которое образует струю в пространстве (x, y, z) . При благоприятных условиях может оказаться, что эта струя сфокусируется в окрестности точки (x_0, y_0, z_0) , расположенной на расстоянии ρ_0 от начала координат

$$\rho_0 = \sqrt{x_0^2 + y_0^2 + z_0^2}. \quad (18)$$

Проведем через эти точки прямую — луч (см. рисунок). Преобразуем выделенную струю W_0 по принципу подобия с коэффициентом k . Получим новую струю с энергией W_k

$$W_k = k^n W_0. \quad (19)$$

Если первоначальная струя W_0 была сфокусирована по углам влета в точке (x_0, y_0, z_0) с каким-то вполне определенным порядком фокусировки, то преобразование



Движение потоков заряженных частиц в режиме спектрографа.

подобия, очевидно, не меняет этот порядок; варьируется только абберационный коэффициент. Точка фокусировки переместится из положения ρ_0 в положение ρ_k на том же луче

$$\rho_k = \sqrt{x_k^2 + y_k^2 + z_k^2} = k\rho_0. \quad (20)$$

Изменяя k , возможно „диспергировать“ весь первоначальный поток вдоль построенного луча в соответствии с энергией W . Выразим k из (19) и подставим в (20), получим окончательное выражение для положения сфокусированного пятна на луче при произвольной энергии W

$$\rho_k = \rho_0 \left(\frac{W}{W_0} \right)^{1/n}. \quad (21)$$

Сам выбор W_0 и величина ρ_0 зависят от конкретной структуры однородного поля и условий фокусировки, и здесь появляются большие возможности для управления „спектрографической ситуацией“.

Отсюда находим линейную энергетическую дисперсию

$$D = W \frac{d\rho_k}{dW} = \frac{\rho_0}{n} \left(\frac{W}{W_0} \right)^{1/n}. \quad (22)$$

Это универсальное выражение одинаково для всех однородных полей независимо от их конкретной структуры. Если вдоль луча фокусировки выстроить позиционно-чувствительный детектор, то он одновременно зафиксирует весь спектр энергий E_0 заданного точечного источника в диапазоне (E_1, E_2) . Все эти рассуждения естественным образом приводят к наглядной и общей электронно-оптической схеме спектрографа, базирующейся на законе подобия пучков. Реализация схемы может быть самой разнообразной в зависимости от геометрии выбранного однородного потенциала. В частности, может оказаться, что он обладает фокусировкой не в виде пятнышек, а например, в виде криволинейных полосок, как это имеет место в плоском электрическом поле ($n = 1$). Чтобы реализовать намеченную программу, сначала следует разобраться с

возможными аналитическими формами представления однородных лапласовых потенциалов, наиболее подходящими для определения спектрографических сред с заранее заданными характеристиками.

Желательно выйти за рамки известной классической теории и построить более общие и гибкие алгоритмы, удобные для решения задачи Коши и граничных задач в классе однородных потенциалов как аналитическими, так и компьютерными методами. Стартовой позицией для нас служат потенциалы Донкина [10,11].

Генезис однородных гармонических потенциалов из потенциалов Донкина

Однородные гармонические потенциалы нулевой кратности ($n = 0$) находятся как совместные решения уравнения Лапласа и соответствующего уравнения Эйлера (1) при $n = 0$:

$$\Delta\varphi = \frac{\partial^2\varphi}{\partial x^2} + \frac{\partial^2\varphi}{\partial y^2} + \frac{\partial^2\varphi}{\partial z^2} = 0,$$

$$x \frac{\partial\varphi}{\partial x} + y \frac{\partial\varphi}{\partial y} + z \frac{\partial\varphi}{\partial z} = 0. \quad (23)$$

Общее решение этой системы дает формула Донкина [10]

$$\Omega(\omega) = \psi(x, y, z) + i\varphi(x, y, z),$$

$$\omega = u + iv = \frac{x + iy}{z + \rho}, \quad \rho = \sqrt{x^2 + y^2 + z^2}, \quad (24)$$

где $\Omega(\omega)$ — произвольная аналитическая функция комплексного переменного. Обе функции ψ, φ гармонические и зависят от отношения координат, например, от x/z и y/z . Поверхности постоянного уровня $\psi = \text{const}$ и $\varphi = \text{const}$ — суть семейства конусов с общей вершиной в начале координат $x = y = z = 0$. Поэтому поля, порождаемые ими, иногда называют конусовидными. Представление Донкина, по существу, сводит все проблемы, связанные с конусовидными полями, к классической теории аналитических функций комплексного переменного, что делает его исключительно мощным инструментом.

Целью настоящей работы является разработка математического аппарата комплексного представления однородных гармонических потенциалов с целочисленными кратностями $n = \pm 1, \pm 2, \pm 3, \dots$. Порождающим фактором нам послужат потенциалы Донкина (24). Сначала сформулируем простые леммы, важные для нас.

Лемма 1. Частная производная по z от общей однородной структуры (4) кратности n дает новую однородную функцию кратности $(n-1)$.

Лемма 2. Дифференцирование произвольной гармонической функции $\varphi(x, y, z)$ по координатам x, y, z в любом числе операций и любых комбинациях всегда дает новые гармонические функции.

Лемма 3. Преобразование Кельвина однородной гармонической функции кратности n порождает гармоническую однородную функцию кратности $[-(n+1)]$ с той же угловой частью.

Доказательство. Преобразование Кельвина [12] состоит из геометрического преобразования инверсии в шаре, которая сводится к алгебраическим заменам координат

$$x \rightarrow \frac{x}{x^2 + y^2 + z^2}, \quad y \rightarrow \frac{y}{x^2 + y^2 + z^2}, \quad z \rightarrow \frac{z}{x^2 + y^2 + z^2} \quad (25)$$

и умножению преобразованной функции на множитель

$$\frac{1}{\rho} = \frac{1}{\sqrt{x^2 + y^2 + z^2}}. \quad (26)$$

Если применить эти манипуляции к общей структуре (4), то, очевидно, функция $g\left(\frac{x}{\rho}, \frac{y}{\rho}\right)$ сохранит свой вид, степенной множитель преобразуется, и получим функцию φ^* вида

$$\varphi^* = \frac{1}{\rho^{n+1}} g\left(\frac{x}{\rho}, \frac{y}{\rho}\right). \quad (27)$$

Лемма 4. Если две функции $P(x, y, z)$ и $Q(x, y, z)$ порознь гармоничны, а их градиенты взаимно ортогональны $\nabla P \nabla Q = 0$, то произведение (PQ) также является гармонической (лапласовой) функцией.

Доказательство очевидно.

С помощью указанных лемм можно построить теперь широкий мир однородных лапласовых потенциалов с целочисленными степенями (кратностями), используя только общее комплексное выражение потенциала Донкина (24) с произвольной аналитической функцией $\Omega(\omega)$. Начнем этот процесс с построения стартовой структуры, а именно однородного гармонического потенциала кратности $n = -1$. Это можно сделать тремя разными способами, например, применяя к (24) лемму 1 либо лемму 3, но наглядней всего нам кажется использование леммы 4, если взять в качестве P кулоновский потенциал, а в качестве Q — потенциал Донкина (24). Действительно, поверхности постоянного уровня ψ и φ из (24) — суть семейство конусов с общей вершиной, а эквипотенциалы кулоновского центра — суть сферы, ортогональные конусам. Следовательно, их градиенты также взаимно ортогональны. Все условия леммы 4 выполнены, и можно сразу записать

$$\Omega_{-1} = \frac{\Omega(\omega)}{\rho}, \quad (28)$$

$$\omega = \frac{x + iy}{z + \rho}. \quad (29)$$

Эту основную структуру (28) резонно назвать анизотропным кулоновским центром, ибо темп спадания потенциала здесь такой же, как у обычного кулоновского центра, но интенсивность моделируется функцией Ω , зависящей от направления $(x/z, y/z)$. Кроме применения

в спектрографии он обещает более глубокие физические интерпретации, выходящие за рамки нашей статьи.

Далее, применяя к (28) лемму 1 многократно, можно получить бесконечную цепочку однородных потенциалов с отрицательными степенями

$$\Omega_{-2}(x, y, z) = \frac{\partial \Omega_{-1}}{\partial z} = -\frac{1}{\rho^2} \left(\omega \Omega_\omega + \frac{z}{\rho} \Omega \right), \quad (30)$$

$$\Omega_{-3}(x, y, z) = \frac{\partial \Omega_{-2}}{\partial z} = \frac{1}{\rho^3} \left[\omega(\omega \Omega_\omega)_\omega + \frac{3z}{\rho} \omega \Omega_\omega + \left(\frac{3z^2}{\rho^2} - 1 \right) \Omega \right], \quad (31)$$

$$\dots\dots\dots$$

$$\Omega_{-(n+1)} = \frac{\partial^n \Omega_{-1}}{\partial z^n}, \quad (32)$$

где $\Omega_\omega = d\Omega/d\omega$.

Уже из выражений (30), (31) легко понять, что угловая часть с ростом n будет состоять из расширяющейся линейной комбинации чистых функций от комплексного аргумента потенциалов Донкина и коэффициентов перемешивания, состоящих из степеней величины z/ρ , которые заведомо не гармоничны.

Все эти потенциалы легко превратить в однородные гармонические потенциалы целых положительных степеней при помощи леммы 3. Например, из (30) получается

$$\Omega_1(x, y, z) = -\rho \left(\omega \Omega_\omega + \frac{z}{\rho} \Omega \right), \quad (33)$$

а из (31)

$$\Omega_2(x, y, z) = \rho^2 \left[\omega(\omega \Omega_\omega)_\omega + \frac{3z}{\rho} \omega \Omega_\omega + \left(\frac{3z^2}{\rho^2} - 1 \right) \Omega \right]. \quad (34)$$

Итак, нами найден простой и прозрачный алгоритм определения широкого класса однородных лапласовых потенциалов для спектрографии. Его ядром является произвольный комплексный потенциал Донкина, чем достигается большая гибкость в приложениях. Естественно предположить, что этим способом можно построить все без исключения однородные гармонические функции с целыми индексами (степенями), но объем статьи не позволяет нам углубляться в эту сугубо математическую тему. Поэтому ограничимся явными интересными физическими применениями.

Однородные потенциалы с плоскостью симметрии

Из всего многообразия однородных потенциалов выделим такие, чтобы выполнялось условие

$$\varphi(x, y, z) = \varphi(x, -y, z). \quad (35)$$

Плоскость симметрии $y = 0$ в этом случае может быть носителем основного потока, подвергаемого спектрографическому преобразованию. Именно в этой ситуации могут реализоваться объемные фокусировки по двум углам влета с малыми aberrациями. Построения класса таких симметричных потенциалов легко осуществить, если взять потенциал — генератор Донкина Ω_ω — в виде

$$\Omega = if(\omega) = \psi + i\varphi, \quad (36)$$

где $f(\omega)$ не содержит мнимости нигде, кроме самого аргумента ω . Иначе говоря, f — вещественная функция, если аргумент ω веществен. В этих условиях функция $\varphi(x, y, z)$, очевидно, четная по y . Построим теперь потенциал

$$\Omega_{-1} = \frac{if(\omega)}{\rho} = \psi_{-1}(x, y, z) + i\varphi_{-1}(x, y, z). \quad (37)$$

Поскольку ρ — вещественная симметричная по y функция, то φ_{-1} в (37) будет также заведомо четной по y . Следовательно, уже построена основная структура с нужными свойствами, из которой дифференцированием по z можно построить множество симметричных потенциалов с отрицательными индексами. Легко доказать, что оператор $\partial/\partial z$, примененный к четной по y однородной функции, дает всегда тоже четную функцию. Таким образом, из (30), (31) и (32) получим симметричные потенциалы вида

$$\left\{ \begin{array}{l} \Omega_{-2} = -i \frac{\omega f_\omega + \frac{z}{\rho} f}{\rho^2}, \\ \Omega_{-3} = \frac{i}{\rho^3} \left[\omega(\omega f_\omega)_\omega + \frac{3z}{\rho} \omega f_\omega + \left(\frac{3z^2}{\rho^2} - 1 \right) f \right], \\ \dots\dots\dots \\ \Omega_{-(n+1)} = i \frac{\partial^n f}{\partial z^n \rho}. \end{array} \right. \quad (38)$$

Преобразование Кельвина, очевидно, сохраняет симметрию потенциала, и с его помощью все потенциалы (38) можно „перевернуть“ и получить систему однородных структур с целыми положительными степенями.

Задача Коши для однородных симметричных потенциалов

В работе [11] авторы бегло коснулись задачи Коши для однородных гармонических потенциалов нулевой кратности и нашли простой алгоритм решения при помощи комплексного потенциала Донкина. Это решение оказывается ключом подхода к задаче Коши для однородных симметричных полей с любыми целыми степенями, поэтому изложим его более подробно. Положим

$$\Omega(\omega) = if \left(\frac{x + iy}{z + \sqrt{x^2 + y^2 + z^2}} \right) = \psi + i\varphi. \quad (39)$$

Симметричный скалярный потенциал запишем в форме

$$\varphi = \varphi\left(\frac{y}{x}, \frac{z}{x}\right). \quad (40)$$

Задача Коши состоит в том, чтобы восстановить пространственный ход гармонического потенциала по его значениям в плоскости симметрии $y = 0$.

Из (40) видно, что ход потенциала в плоскости симметрии следует задавать формулой

$$\varphi|_{y=0} = \lambda\left(\frac{z}{x}\right). \quad (41)$$

Функция λ предполагается аналитической. Поскольку f в (39) — суть функция вещественная при вещественном аргументе, то полагая $y = 0$ и соединяя с (41), получим уравнение

$$f\left(\frac{x}{z + \sqrt{x^2 + z^2}}\right) = \lambda\left(\frac{z}{x}\right). \quad (42)$$

Обозначим, как и раньше, „укороченный“ аргумент в структуре f той же буквой ω :

$$\omega = \frac{x}{z + \sqrt{x^2 + z^2}} \quad (43)$$

и разрешим это равенство относительно величины z/x . Получим

$$\frac{z}{x} = \frac{1}{2}\left(\frac{1}{\omega} - \omega\right). \quad (44)$$

Подставив (44) в (42), получим искомую структуру неизвестной функции f в виде

$$f(\omega) = \lambda\left[\frac{1}{2}\left(\frac{1}{\omega} - \omega\right)\right]. \quad (45)$$

Остается заменить в (45) вещественный аргумент ω полным комплексным аргументом Донкина

$$\omega = \frac{x + iy}{z + \sqrt{x^2 + y^2 + z^2}} \quad (46)$$

и подставить полученное выражение для f в (45). Искомый комплексный потенциал запишется в виде

$$\Omega(\omega) = i\lambda\left[\frac{1}{2}\left(\frac{1}{\omega} - \omega\right)\right] = i\lambda\left(\frac{zx - iy\rho}{x^2 + y^2}\right). \quad (47)$$

Он и дает решение задачи Коши для однородного гармонического потенциала нулевой кратности.

Рассмотрим теперь ту же задачу для потенциала (37). Здесь условие Коши запишется как

$$\frac{f(\omega)}{\rho}\Big|_{y=0} = \frac{\lambda\left(\frac{z}{x}\right)}{\sqrt{x^2 + z^2}}$$

или

$$\frac{f\left(\frac{x}{z + \sqrt{x^2 + z^2}}\right)}{\sqrt{x^2 + z^2}} = \frac{\lambda\left(\frac{z}{x}\right)}{\sqrt{x^2 + z^2}}. \quad (48)$$

Радикалы в знаменателях слева и справа в выражении (48) сокращаются, и остается то же равенство (42), которое уже разрешено нами. Следовательно, f будет иметь ту же форму (47). Тогда для кратности $n = -1$ угловая часть остается точно такой же, что и в случае нулевой кратности. Теперь обратимся к общему случаю отрицательных степеней из (38) и запишем условие Коши в плоскости симметрии, в котором задается только угловая часть, зависящая от отношения $\frac{z}{x}$, поскольку соответствующая степень ρ входит по природе однородности потенциала. Имеем

$$\frac{\partial^n f(\omega)}{\partial z^n \rho}\Big|_{y=0} = \frac{\partial^n f\left(\frac{x}{z + \sqrt{x^2 + z^2}}\right)}{\partial z^n \sqrt{x^2 + z^2}} = \frac{\lambda\left(\frac{z}{x}\right)}{\sqrt{(x^2 + z^2)^{n+1}}}. \quad (49)$$

Введем новую переменную

$$p = \frac{z}{x}, \quad (50)$$

тогда (49) запишется в виде

$$\frac{\partial^n f\left(\frac{1}{p + \sqrt{1+p^2}}\right)}{\partial p^n \sqrt{1+p^2}} = \frac{\lambda(p)}{\sqrt{(1+p^2)^{n+1}}}. \quad (51)$$

Получилось простое обыкновенное дифференциальное уравнение, общий интеграл которого находится n -кратным интегрированием правой части (51). При этом появляется еще полином степени $(n-1)$ по p с произвольными коэффициентами, который можно сразу отбросить, ибо он уничтожится сам собой при возвращении к общему комплексному потенциалу (38). Из (51) получаем

$$\frac{f\left(\frac{1}{p + \sqrt{1+p^2}}\right)}{\sqrt{1+p^2}} = \int \left[\int \dots \int \frac{\lambda(p)}{(1+p^2)^{\frac{n+1}{2}}} dp \right] dp = N(p). \quad (52)$$

С помощью (52) выражаем $p = z/x$ через ω и получаем явное представление для искомого потенциала — генератора Донкина f

$$f(\omega) = \frac{1}{2}\left(\frac{1}{\omega} - \omega\right) N\left[\frac{1}{2}\left(\frac{1}{\omega} - \omega\right)\right].$$

Остается подставить вместо вещественного ω полный комплексный аргумент Донкина (46) и далее по формуле (38) вычислить окончательный искомый потенциал кратности $[-(n+1)]$. С помощью преобразования Кельвина все эти потенциалы с отрицательными степенями можно трансформировать в потенциалы с целыми положительными степенями.

Заключение

Подводя итоги проведенного исследования, можно сделать следующие выводы.

1. Предложен и обоснован новый вариант общей электронно-оптической схемы спектрографа.

2. Разработан замкнутый аналитический аппарат представления однородных лапласовых потенциалов.

3. Построен явный аналитический алгоритм решения задачи Коши для однородных симметричных потенциалов с целыми отрицательными и положительными степенями.

Список литературы

- [1] *Афанасьев В.П., Явор С.Я.* Электростатические энергоанализаторы для пучков заряженных частиц. М.: Наука, 1978. 224 с.
- [2] *Голиков Ю.К., Холин Н.А., Шорина Т.А.* // Научное приборостроение. 2009. Т. 19. № 2. С. 13–24.
- [3] *Jacka M., Kirk M., Gomati M.M.El., Prutton M.* // Rev. Sci. Instrum. 1999. Vol. 70. N 5. P. 2282–2287.
- [4] *Read F.H.* // Rev. Sci. Instrum. 2002. Vol. 73. N 3. P. 1129–1139.
- [5] *Заиквара В.В., Ашимбаева Б.У., Былинкин А.Ф.* // ЖТФ. 1988. Т. 58. Вып. 10. С. 2021–2025.
- [6] *Овсянникова Л.П., Фишкова Т.Я.* // ЖТФ. 2001. Т. 71. Вып. 11. С. 133–135.
- [7] *Фихтенгольц Г.М.* Курс дифференциального и интегрального исчисления. Т. 1. М.: Физматгиз, 1962. 607 с.
- [8] *Голиков Ю.К., Уткин К.Г., Чепарухин В.В.* Расчет элементов электростатических электронно-оптических систем. Л.: Изд-во ЛПИ, 1984. 79 с.
- [9] *Голиков Ю.К., Краснова Н.К.* // Прикладная физика. 2007. № 2. С. 5–11.
- [10] *Уиттекер Е.Т., Ватсон Г.Н.* Курс современного анализа. Т. 2. М.–Л.: Гос. тех.-теор. изд-во, 1934. 467 с.
- [11] *Габдуллин П.Г., Голиков Ю.К., Краснова Н.К., Давыдов С.Н.* // ЖТФ. 2000. Т. 70. Вып. 2. С. 91–94.
- [12] *Гринберг Г.А.* Избранные вопросы математической теории электрических и магнитных явлений. М.–Л.: Изд-во АН СССР, 1948. 727 с.